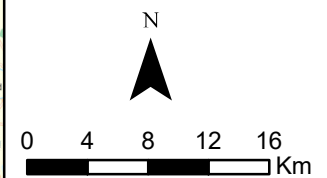
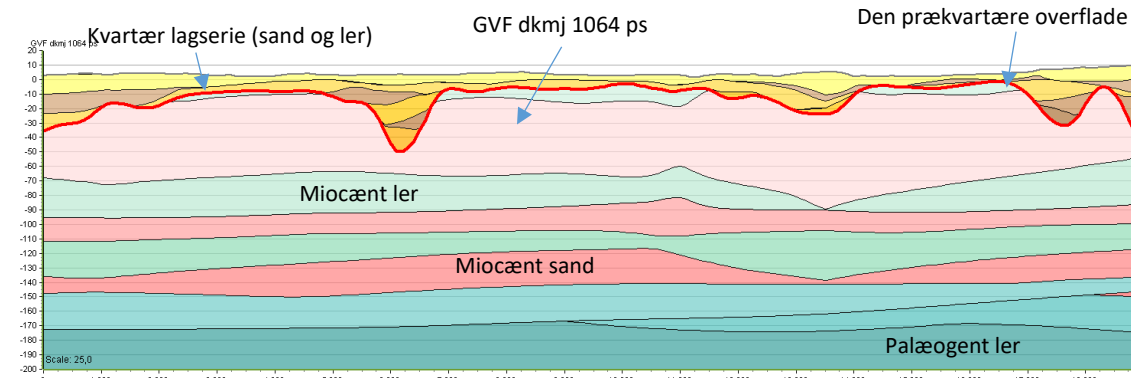


Målestok:
1:500.000



Oversigtsprofil:



Figur 1: Udvalgt NV-SØ profil gennem GVF dkmj 1064 ps (hydrostratigrafisk model) /1/. For legende, se side 2.

Kort beskrivelse af geologiske forhold:

Prækvartære aflejringer

- De øvre prækvartære aflejringer består af skiftende miocæne ler- og sandformationer og fedt palæogent ler (se figur 1) /2/.
- Den prækvartære overflade varierer fra ca. kote -20 m til kote 0 m /1/. Overfladen er relativt jævn inden for området. /1/.
- GVF dkmj 1064 ps er defineret ved PS1 i FOHM modellen og er i størstedelen af området det øverste prækvartære sandlag. Laget varierer i mægtighed mellem 10-70 m inden for koteintervallet ca. kote 0 /1/.

Kvartære aflejringer

- De kvartære aflejringer består overvejende af smeltevandssand, der er aflejret i forbindelse med afsmeltning i Weichsel glaciationen, og mod nord sandede moræneaflejringer på Skovbjerg Bakkeø fra Saale glaciationen /2, 4/.
- I dele af området ses adskillige klitlandskaber, ferskvandsaflejringer og marskområder /4/.

Begravede dale

- Der er kortlagt enkelte begravede dalstrukturer, der har en NV-SØ eller N-S orientering. Dalene er udfyldt med sandede og lerede kvartære aflejringer /3/, og er nederoderet i såvel den kvartære som den prækvartære lagserie.

Deformationer af lagserien

- På bakkeøen kan forekomme rester af randmorænekomplekser fra Saale glaciationen, hvor der kan forventes at ses glacialtektoniske forstyrrelser /2/.

Referencer:


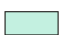



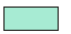
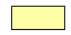



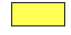
















- /1/ Miljøstyrelsen, 2019: FOHM-model for Jylland. Hydrostratigrafisk model.
/2/ Miljøministeriet, 2010: Kortlægning af grundvandsressourcen i Skjern kortlægningsområde. Redegørelsesrapport. ISBN: 978-87-92708-46-5
/3/ Sandersen, P.B.E. & Jørgensen (2016). Kortlægning af begravede dale i Danmark. Opdatering 2010-2015. GEUS, Særdugivelse, bind 1 og 2. (www.begravededale.dk)
/4/ Smed, P. 1981 Geomorfologisk kort over Danmark.

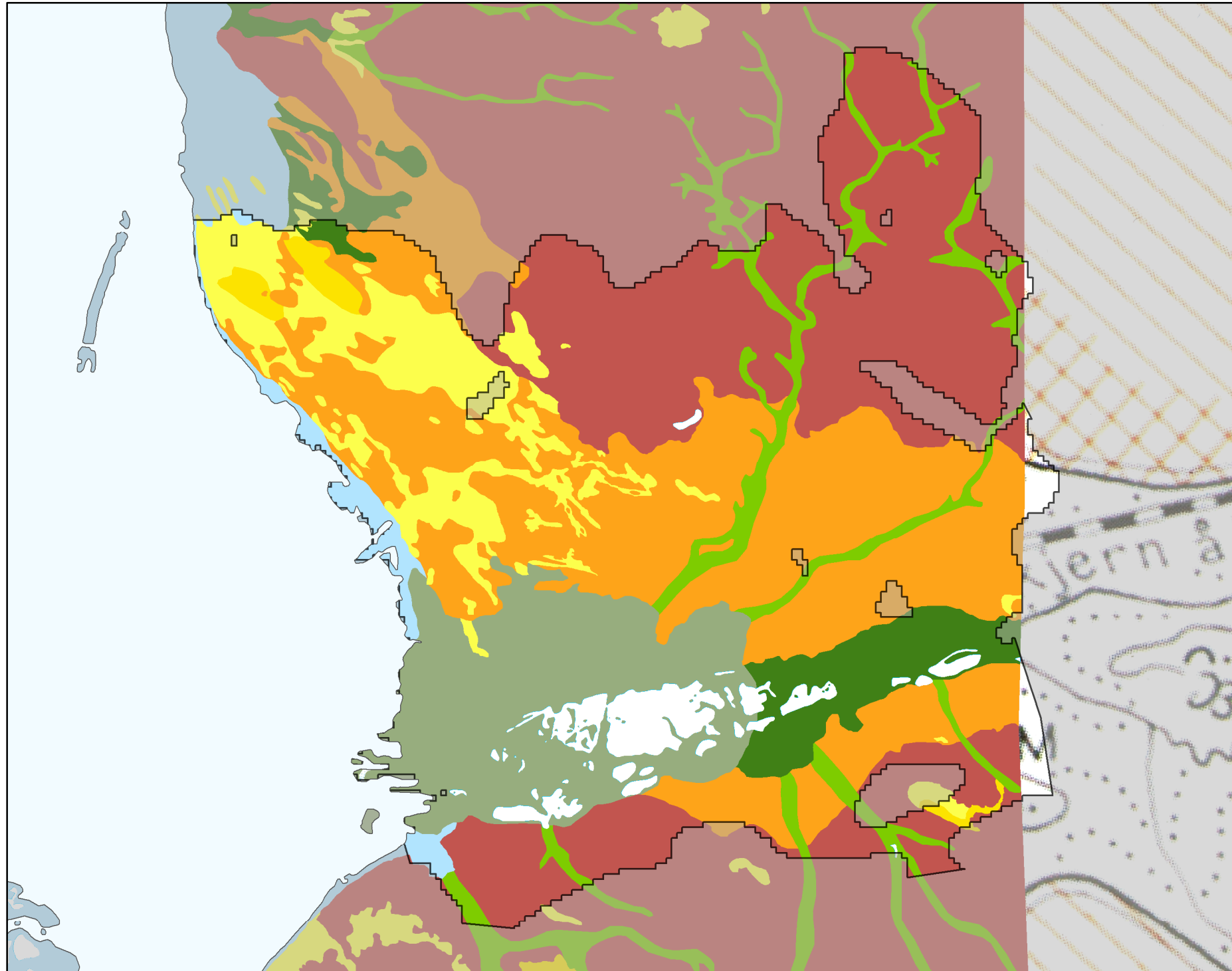
Udført af: MHM

Dato: 07.08.2019

Legende til profil i figur 1:

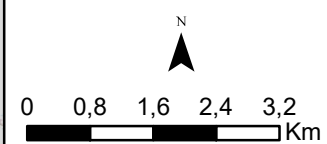
Jylland hydrostratigrafiske lag

 Kvartært ler KL1	 Prekvartært ler PKL1
 Kvartært sand KS1	 Prekvartært sand PS1
 Kvartært ler KL2	 Prekvartært ler PL2
 Kvartært sand KS2	 Prekvartært sand PS2
 Kvartært ler KL3	 Prekvartært ler PL3
 Kvartært sand KS3	 Prekvartært sand PS3
 Kvartært ler KL4	 Prekvartært ler PL4
 Kvartært sand KS4	 Prekvartært sand PS4
 Kvartært ler KL5	 Prekvartært ler PL5
 Kvartært sand KS5	 Prekvartært sand PS5
 Kvartært ler KL6	 Prekvartært ler PL6
 Kvartært sand KS6	 Prekvartært sand PS6
 Kvartært ler KL7	 Prekvartært ler PL7
	 Kalk

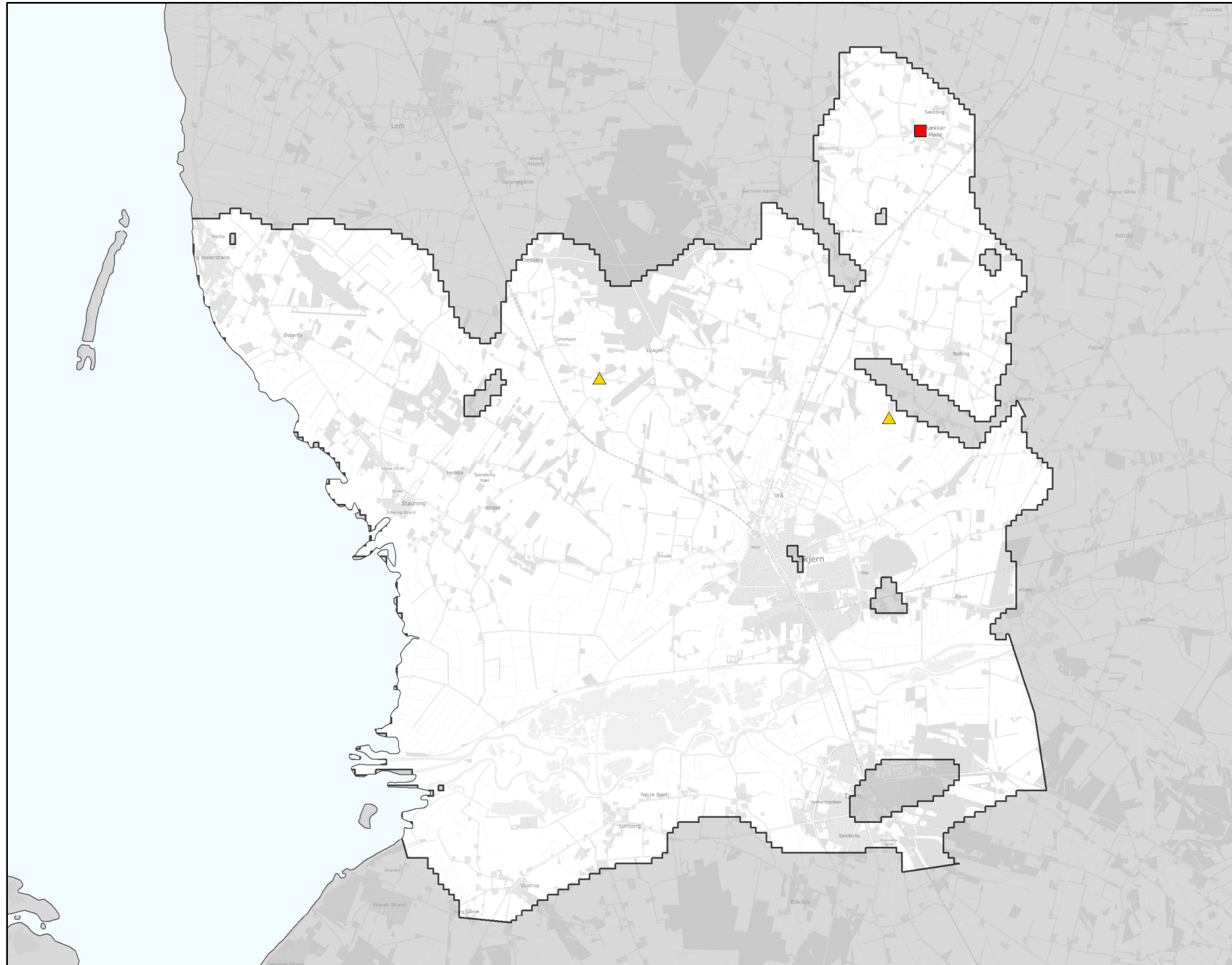


-  Sø
-  Ældre moræneflade
-  Hedeslette
-  Erosionsdal
-  Delta
-  Marin flade
-  Mose
-  Klit
-  Flyvesandsflade

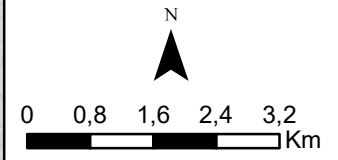
Legende til Per Smeds kort findes separat.



Stofkode	Overskridelser_procent	Antal_overskridelser	Analyserede_indtag	
Chlorerede opløsningsmidler	Chlorerede opløsningsmidler	Chlorerede opløsningsmidler	Chlorerede opløsningsmidler	
Sum_Ch_l opl			0	0
2617_Tetrachlorethylen			0	0
2618_Trichlorethylen			0	0
404_Cis_1_2_dichlorethylen			0	0
407_1_1_Dichlorethylen			0	0
408_Trans_1_2_dichloreth			0	0
9946_Vinylchlorid			0	0
2621_1_1_1_trichlorethan			0	0
4542_1_1_dichlorethan			0	0
3117_Chlorethan			0	0
9422_1_2_dichlorethan			0	0
2616_Tetrachlormethan			0	0
2612_Chloroform			0	0
2624_Dichlormethan			0	0
Chl_Individuel_indtag			0	0
BTEXN	BTEXN	BTEXN	BTEXN	
662_Benzen		0	0	5
665_Toluen		0	0	5
3007_Ethylbenzen		0	0	3
2662_O_xylen		0	0	5
2664_M_P_xylen		0	0	5
649_Naphtalen		33	1	3
BTEXN_Individuel_indtag		20	1	5
PHENOLER	PHENOLER	PHENOLER	PHENOLER	
2676_Phenol			0	0
2678_3_methylphenol			0	0
2680_2_methylphenol			0	0
2681_4_methylphenol			0	0
2682_3_4_dimethylphenol			0	0
2683_3_5_dimethylphenol			0	0
2684_2,6-dimethylphenol			0	0
2685_2_4_dimethylphenol			0	0
2697_2_5_dimethylphenol			0	0
2679_2_3Dimethylphenol			0	0
Phenoler_Individuel_indtag			0	0
MTBE	MTBE	MTBE	MTBE	
490_MTBE			0	0
Vandopløselige opløsningsmidler	Vandopløselige opløsningsmidler	Vandopløselige opløsningsmidler	Vandopløselige opløsningsmidler	
3047_Diethylether			0	0
658_2_propanol			0	0
664_Methyl_isobutylketon			0	0
VANDopl_individuel_indtag			0	0
PFAS	PFAS	PFAS	PFAS	
Sum_PFAS			0	0
2266_Perfluorbutansyre			0	0
2283_Perfluorpentansyre			0	0
2270_Perfluorohexansyre			0	0
2271_Perfluoroheptansyre			0	0
2272_Perfluoroktansyr			0	0
2273_Perfluorononansyre			0	0
2275_Perfluorodecansyre			0	0
2281_Perfluorbutansulfonsyre			0	0
2267_Perfluorhexansulfonsyre			0	0
2268_Perfluoroktansulfonsyre			0	0
2274_Perfluoroktansulfonamid			0	0
2287_1H_1H_2H_2H_Perfluoroktansulfonsyre			0	0
PFAS_individuel_indtag			0	0
Cyanider	Cyanider	Cyanider	Cyanider	
656_Cyanid_Syreflygtigt			0	0
654_Cyanid_Total		0	0	2
Cyanid_individuel_indtag		0	0	2
ALLE INDTAG	ALLE INDTAG	ALLE INDTAG	ALLE INDTAG	
Overskridelser_individuelle_indtag		20	1	5



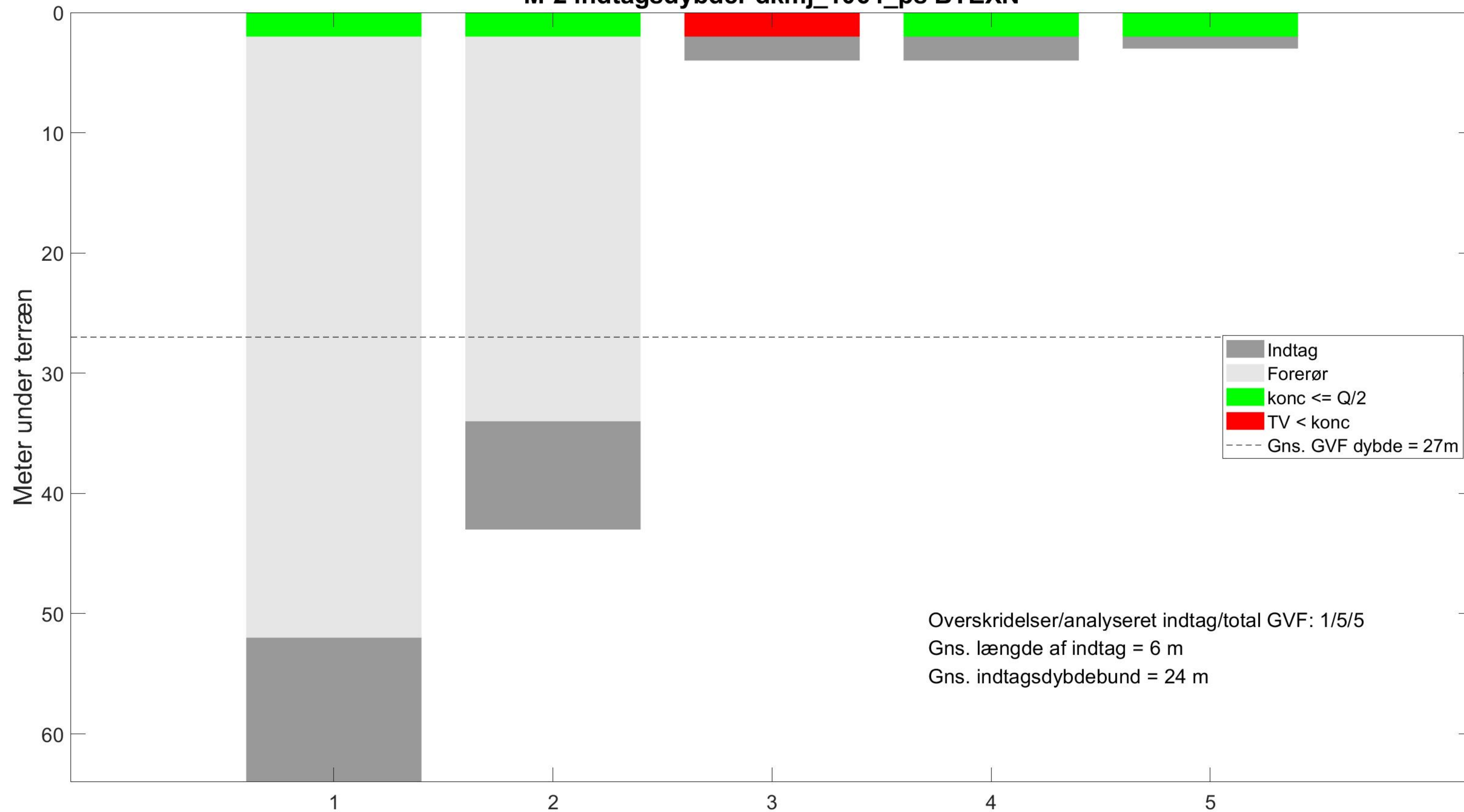
- MFS (maks. MAM)**
- Chorerede opl.**
- Konc. <= QL
 - QL < Konc. <= TV
 - TV < Konc. <= 10 TV
 - 10 TV < Konc. <= 1000 TV
 - Konc. > 1000 TV
- BTEXN**
- Konc. <= QL
 - QL < Konc. <= TV
 - TV < Konc. <= 10 TV
 - 10 TV < Konc. <= 1000 TV
 - Konc. > 1000 TV
- Øvrige stofgrupper**
- ▲ Konc. <= QL
 - ▲ QL < Konc. <= TV
 - ▲ TV < Konc. <= 10 TV
 - ▲ 10 TV < Konc. <= 1000 TV
 - ▲ Konc. > 1000 TV



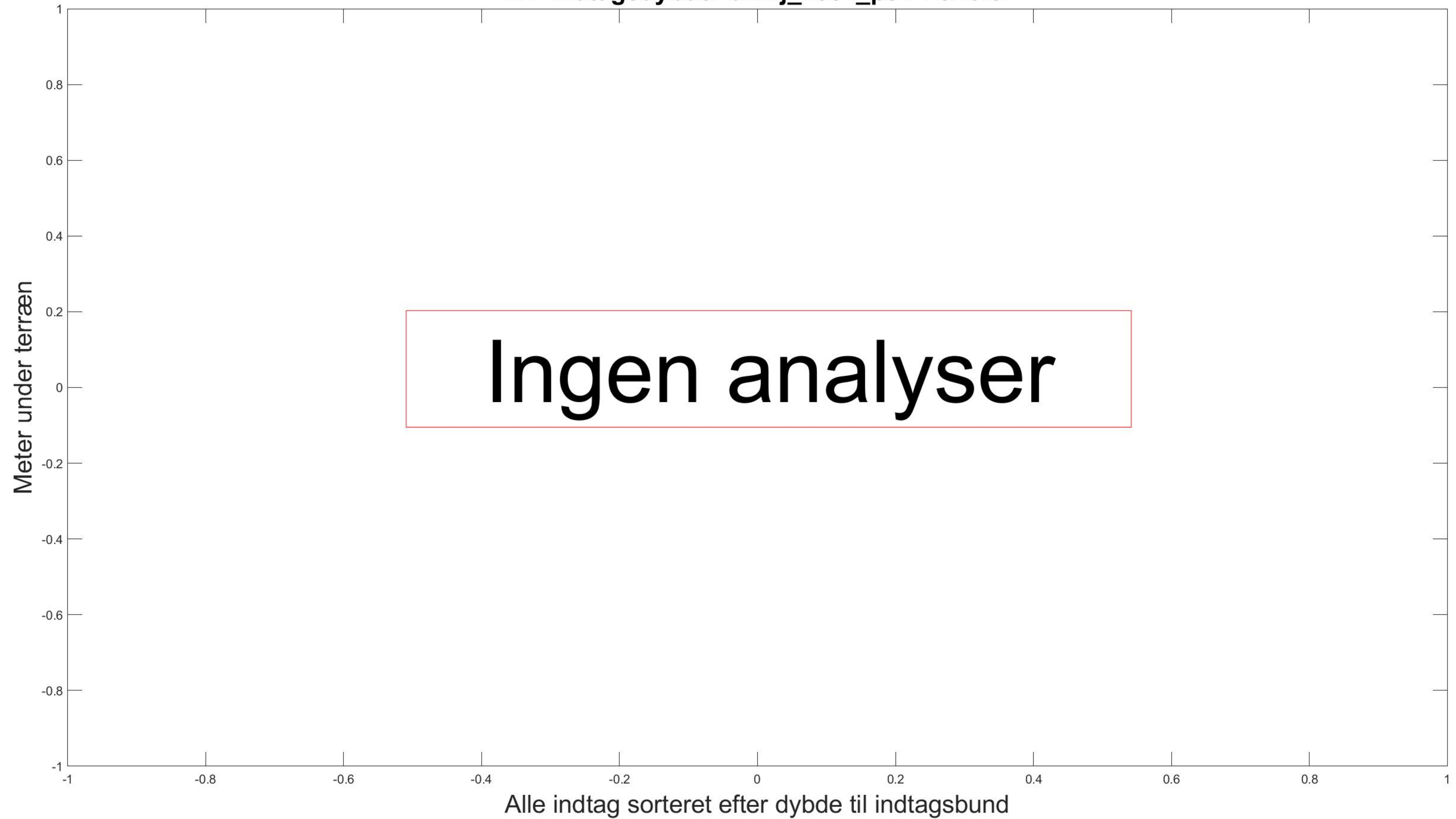
M-2 indtagsdybder dkmj_1064_ps chlopl



M-2 indtagsdybder dkmj_1064_ps BTEXN



M-2 indtagsdybder dkmj_1064_ps Phenoler



M-2 indtagsdybder dkmj_1064_ps MTBE



M-2 indtagsdybder dkmj_1064_ps Vandopl



M-2 indtagsdybder dkmj_1064_ps PFAS



M-2 indtagsdybder dkmj_1064_ps Cyanid, total

